

Modelagem Hidro-Econômica na Bacia do Araguari para avaliação do impacto da produção de cana- de-açúcar e biocombustíveis no valor econômico da água



PROF. GUILHERME FERNANDES MARQUES, PHD
GUILHERME.MARQUES@UFRGS.BR



INSTITUTO DE
PESQUISAS HIDRÁULICAS



Núcleo de Planejamento e Gestão de Recursos Hídricos

Contexto atual e justificativa



- Expansão na demanda por fontes energéticas renováveis, com potencial incremento se o país retomar o crescimento econômico;
- Segundo projeções da Empresa Brasileira de Pesquisa Energética (EPE, 2008a), uma expansão sustentada anual média do PIB de 5% no próximo decênio irá resultar em um crescimento no consumo total de eletricidade a um taxa de 5,5% ao ano.
- Crescentes preocupações sobre o uso de combustíveis fósseis e seus impactos ambientais.

Contexto atual e justificativa



- Fontes primárias de energia empregadas no Brasil

	2007	2006
Energia Não Renovável	53,6	55,1
Petróleo e Derivados	36,7	37,8
Gás Natural	9,3	9,6
Carvão Mineral e Derivados	6,2	6,0
Urânio (U ₃ O ₈) e Derivados	1,4	1,6
Energia Renovável	46,4	44,9
Produtos da Cana-de-açúcar	16,0	14,5
Energia Hidráulica e Eletricidade	14,7	14,8
Lenha e Carvão Vegetal	12,5	12,7
Outras Renováveis	3,1	2,9

Brasil, Empresa de Pesquisa Energética. (2008b). *Balço Energético Nacional 2008: Ano base 2007: Resultados Preliminares*. Rio de Janeiro: EPE, 2008. 44p.

Contexto atual e justificativa



- O Brasil é um dos maiores produtores de cana-de-açúcar do mundo, com uma área cultivada de 5,34 milhões de hectares, dos quais 2,66 milhões para produção de álcool.
- Os maiores produtores mundiais de etanol são os Estados Unidos e o Brasil, que utilizam como matéria prima o milho e a cana-de-açúcar respectivamente.
- O Brasil produziu 22,5 milhões de m³ de álcool em 2007, um aumento de 26% em relação a 2006. No mercado mundial, o Brasil participa com 50% nas exportações de etanol, a maior parte para os países da Índia, Japão e Estados Unidos

Contexto atual e justificativa



- Devido às vantagens energéticas, econômicas e ambientais do etanol da cana-de-açúcar sobre o do milho, existe um grande potencial para o aumento da demanda por este combustível em nível mundial.

Contexto atual e justificativa



- Esta demanda trará impactos para as bacias hidrográficas das regiões produtivas:
 - Aumento na demanda pela água no caso dos sistemas irrigados.
 - Produção de efluentes e resíduos.
 - Expansão de fronteiras agrícolas.
- Na ausência do planejamento adequado, estes impactos irão produzir vários efeitos negativos:
 - Aumento na escassez hídrica.
 - Agravamento de conflitos pelo uso da água.
 - Poluição e outros impactos ambientais.

Foco e objetivos do projeto



- Estudar os **sistemas hídricos** quanto à sua **capacidade de suporte** em um cenário mundial cujo principal desafio é a **produção de energia mais limpa**.
- **Objetivos:**
 - Estudar o impacto da produção de etanol de cana-de-açúcar irrigada no valor econômico da água, na medida em que esta torna-se um insumo para a produção de energia.
 - Identificar qual a produção “ótima” de etanol considerando demandas econômicas que competem por água e energia na bacia do Rio Araguari.
 - Identificar qual o nível de eficiência na produção de etanol necessário para sua viabilidade regional na bacia, reduzindo a demanda por combustíveis fósseis.

Para que servirão os resultados produzidos ?



- Estudo de cenários futuros “e se” de abastecimento e escassez hídrica envolvendo diferentes demandas por energia e pela água;
- Auxílio na identificação da **alocação otimizada da água entre demandas econômicas**, especialmente aquelas relacionadas com a produção de biocombustíveis;
- Auxílio no desenvolvimento de políticas e planos de gestão da água visando sua conservação e aproveitamento, considerando aspectos econômicos.

Metodologia



- Modelo de otimização, *economically driven*.
- Abordagem de PL, com função objetivo convexa *piece wise*.
- **Funções econômicas** para agricultura irrigada produzidas por modelo de produção quadrático, calibrado via PMP (*positive mathematical programming*).

Metodologia - funções econômicas



- As **funções econômicas** podem ser estimadas com o emprego de modelos que maximizam o lucro agrícola sujeito a restrições de disponibilidade de água, capital e outros *inputs*.

$$y = [\alpha_1 \quad \alpha_2 \quad \alpha_3] \cdot \begin{bmatrix} x_1 \\ x_2 \\ x_3 \end{bmatrix} - [x_1 \quad x_2 \quad x_3] \cdot \begin{bmatrix} \gamma_{11} & \gamma_{12} & \gamma_{13} \\ \gamma_{21} & \gamma_{22} & \gamma_{23} \\ \gamma_{31} & \gamma_{32} & \gamma_{33} \end{bmatrix} \cdot \begin{bmatrix} x_1 \\ x_2 \\ x_3 \end{bmatrix}$$

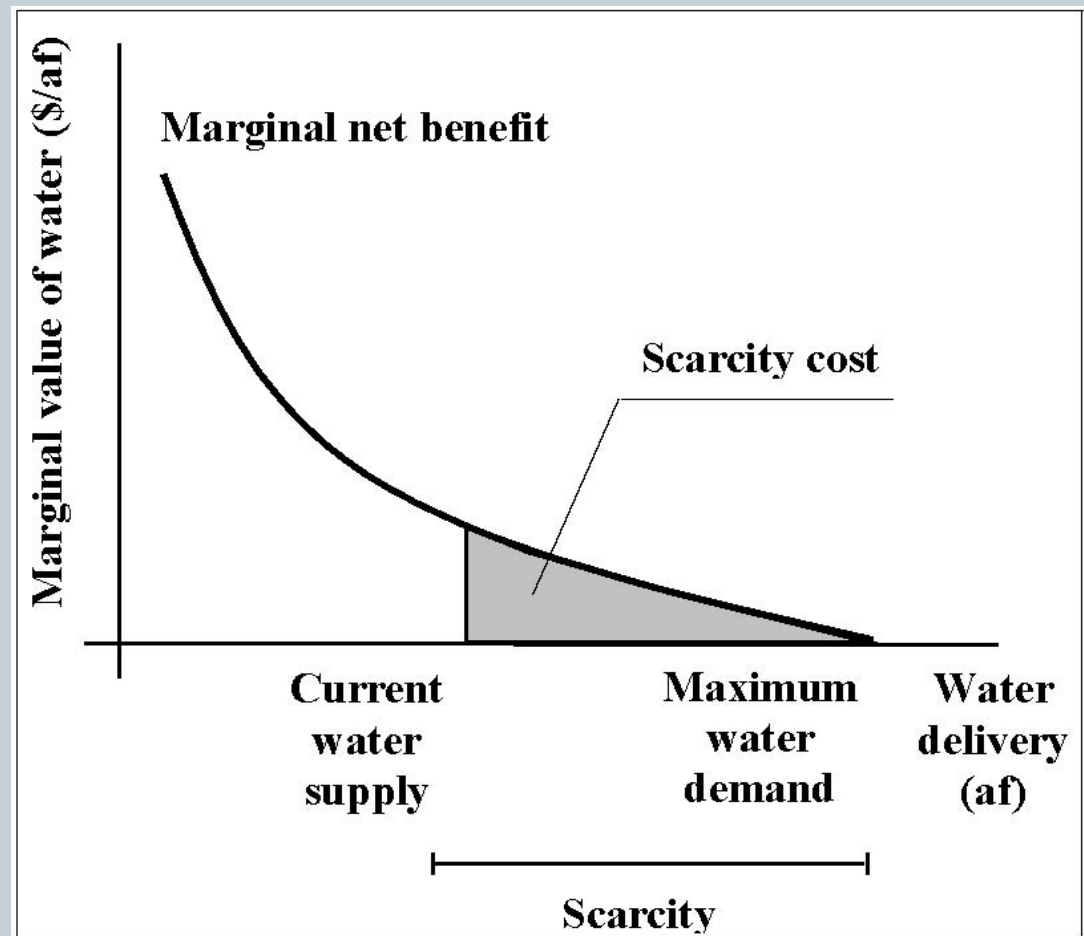
$$\text{Max} \sum_G \sum_i p_i f_{Gi}(x_1, x_2, x_3) - \omega_1 x_1 - \omega_2 x_2 - \omega_3 x_3$$

$$\text{sujeito a} \quad \sum_G \sum_i x_{1,G,i} \leq X_{1,G}$$

$$\sum_G \sum_i x_{2,G,i} \leq X_{2,G}$$

Funções econômicas e o custo da escassez da água

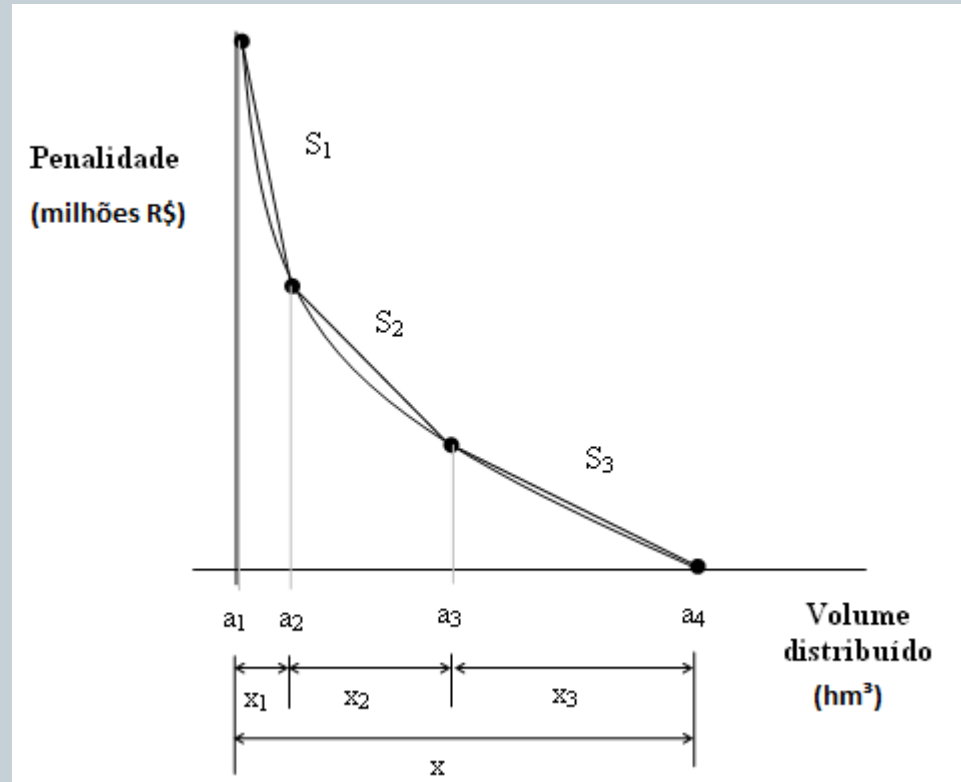
- O custo da escassez é a área sob a curva de demanda entre os pontos do abastecimento atual e a demanda máxima (ponto onde a disponibilidade a pagar pela água, ou valor marginal, é igual a zero).



Custo da escassez = função de penalidade



- Função objetivo: minimiza o custo da escassez da água.
- Variáveis de decisão: volumes alocados a cada demanda e armazenados em reservatórios.
- Equações de restrição: balanço de massa, limitações físicas de infraestrutura e outros condicionantes como vazões ecológicas e restrições operativas hidráulicas.



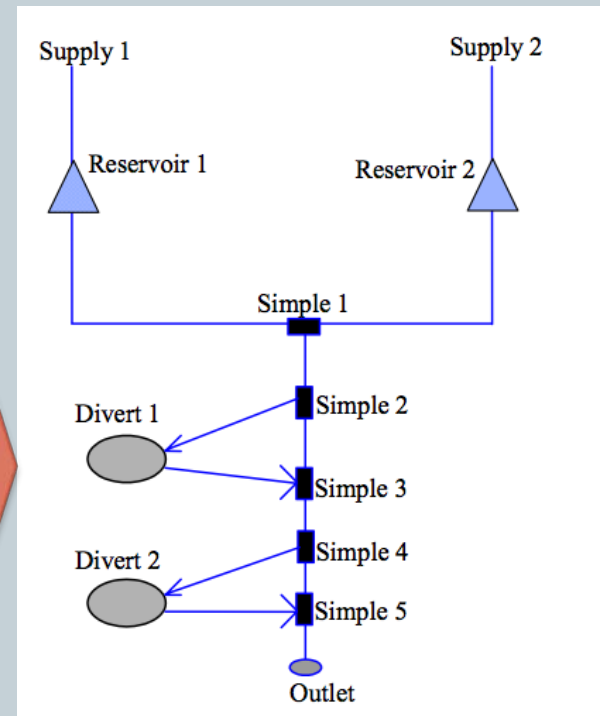
Metodologia - Otimização de um sistema hídrico

O sistema hídrico modelado pode incluir:

- Fontes de abastecimento;
- Reservatórios;
- Demandas;
- Retiradas e retorno de água.

• Sistema representado como um *grafo*

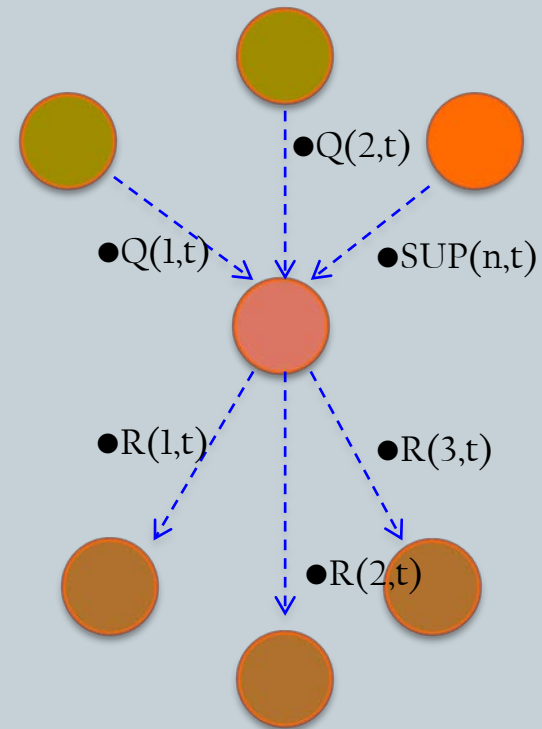
• Presença de arcos (links) e nós



Equações de restrição

Nós simples

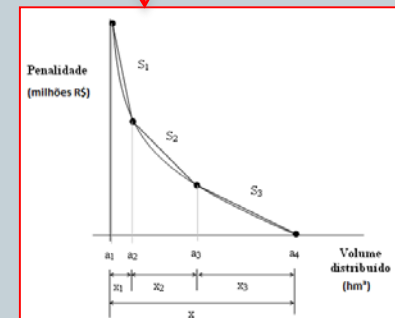
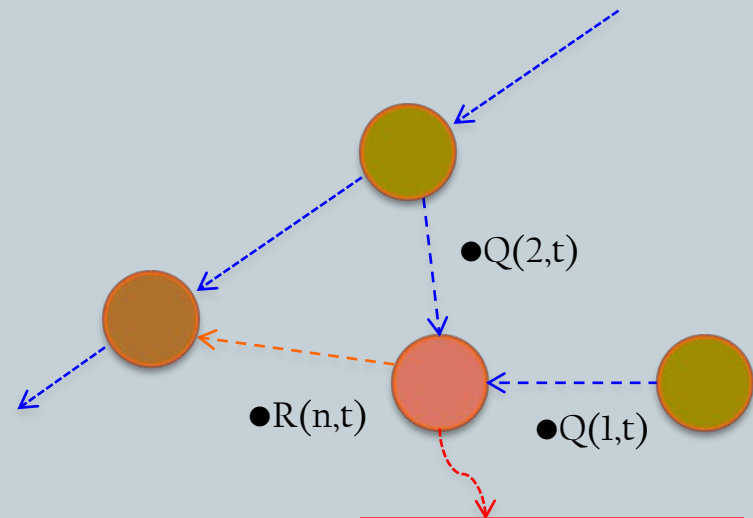
$$\sum_{n \in out} R(n,t) = \sum_{n \in in} Q(n,t) + SUP(n,t)$$



Equações de restrição

Nós de demanda

$$R(n,t) = R_j * \sum_{n \in in} Q(n,t) \quad n \in nrr$$



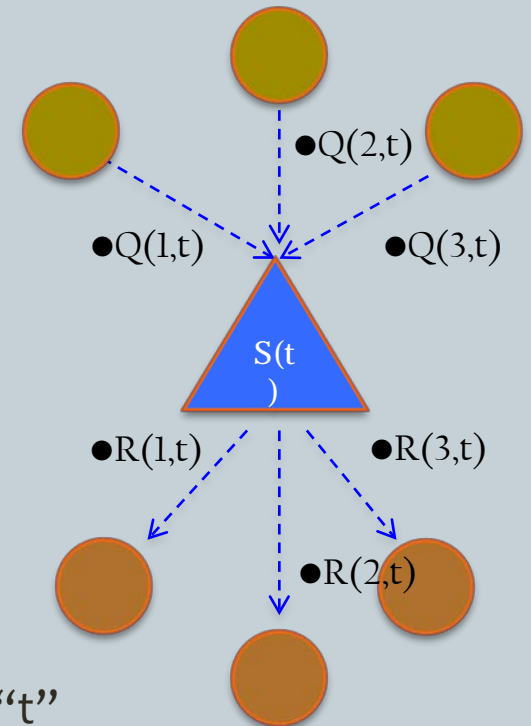
Equações de restrição



Nós de reservatório

$$S(n,t) = S(n,t-1) + \sum_{n \in in} Q(n,t) - \sum_{n \in out} R(n,t) \quad n \in nl$$

$S(n,t)$ é o volume armazenado no nó “n” ao fim do intervalo “t”



Formulação



$$CET = \sum_t \left(\sum_{PT} (C_{MAX_{PT}} - \sum_{CST} X_{t,PT,CST} * CM_{CST,PT}) + \sum EX_{t,PT} * CEX; \right)$$

$$\sum_i VOL_{t,PT,i} - \sum_j VOL_{t,j,PT} = \begin{cases} S_{t+1,PT} - S_{t,PT} - P_{t,PT} + E_{t,PT} + EX_{t,PT}, & \text{IF } PT \in RES_{PT} \\ CONT_{t,PT}, & \text{IF } PT \in DF_{PT} \\ DM_{t,PT}, & \text{IF } PT \in DEM_{PT} \\ Q_{t,PT}, & \text{IF } PT \in IN_{PT} \end{cases} \quad (9)$$

$$X_{t,PT,CST} \leq REST_{CST,PT} \quad (10)$$

$$DM_{t,PT} = \sum_{CST} X_{t,PT,CST} \quad (11)$$

$$VOL_{t,PT,i} \leq UP_{PT,i} \quad (12)$$

$$VOL_{t,PT,i} \geq LOW_{PT,i} \quad (13)$$

$$S_{t,PT} \geq Smin_{PT} \quad (14)$$

$$S_{t,PT} \geq Smax_{PT} \quad (15)$$

$$CONT_{t,PT} \geq LBOUND_{t,PT}; \quad (16)$$

$$CONT_{t,PT} \leq UBOUND_{t,PT};$$

Área de estudo



Cenários analisados



- Situação atual
 - Áreas plantadas de cana de açúcar e outras culturas segundo SIDRA 2006
- Situação sem subsídio na gasolina;
 - Aumento no preço da gasolina: 29,05%
 - Percentual do preço do produto sobre o preço da bomba: 34,6%
 - Aumento de 29,05% no preço da gasolina, resulta em 29,05% * 34,6% = 10% no aumento do preço na bomba

Cenários analisados



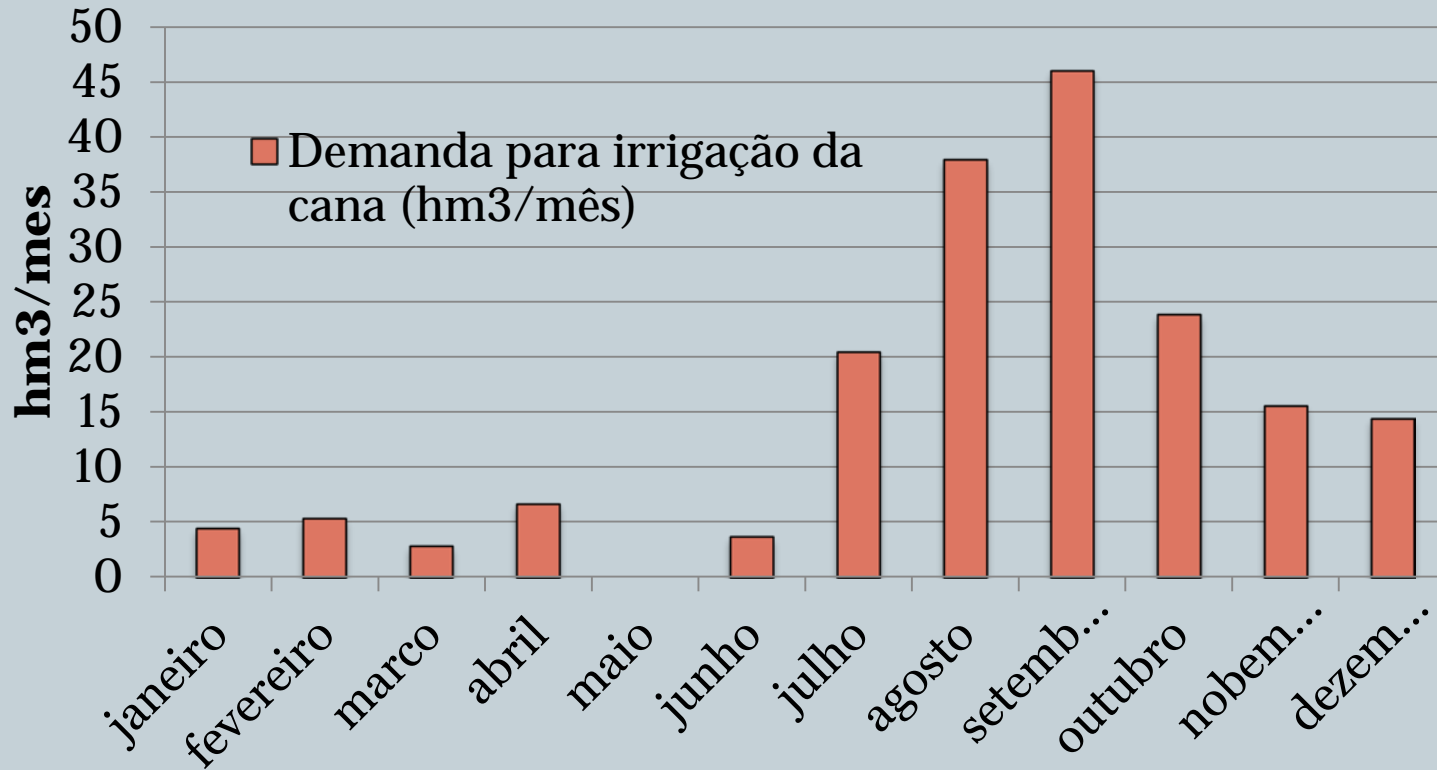
- Média do preço considerando a elasticidade preço cruzada etanol gasolina (dados literatura);
- Aumento resultante da demanda de etanol com o incremento do preço da gasolina é de aproximadamente: **3,7 milhões m³/ano**

Cenários analisados



- Produção de cana-de-açúcar destinado ao etanol no Brasil, safra de 2013/2014: 339,8 milhões de ton,
 - 27,2 milhões m³ de etanol (CONAB, 2013) e uma razão de 0,08 m³ de etanol/ton de cana;
- Aumento potencial na demanda de etanol: **13,67%**, (3,7 milhões m³)
 - 46,5 milhões de toneladas de cana / ano;
 - O triângulo mineiro produziu 23 milhões de toneladas (6,8% do total nacional);
 - Equivale a 3,14 milhões de toneladas de cana;
 - Equivale a 23.776 ha irrigados (a 132,2 TCH)

Demanda por água



Sistema modelado

